

где  $n$  — число направлений в программе;  $k$  — текущий номер направления в программе. Погрешность  $\gamma$  получает знак, обратный знаку соответствующей программы. Эффективность этого способа уравнивания прямо зависит от объема используемого статистического материала. Однако такое распределение ПЗГ не совсем безупречно и требует большой подготовительной работы. В этой связи, чтобы упростить вопрос о распределении ПЗГ, целесообразно изменить соответствующую методику измерения горизонтальных углов способом круговых приемов.

Сущность способа круговых приемов с последовательной приемкой начальных направлений. С целью ослабления систематического влияния погрешности из-за увлечения лимба предложено [10] начинать наблюдения в каждом приеме с нового направления. При этом образуется  $n$  отдельных последовательностей. По нашему мнению, такую методику наблюдения направлений можно использовать для решения задачи о ПЗГ. Выполнив наблюдения по такой методике, выводят среднее из начального и замыкающего отсчетов в каждой последовательности и приводят все отсчеты к выбранному начальному направлению станции. Представим такие программы наблюдения направлений для станий с различным числом направлений:

$n=3$	$n=4$	$n=5$	$n=6$
1.2.3.1	1.2.3.4.1	1.2.3.4.5.1	1.2.3.4.5.6.1
2.3.1.2	2.3.4.1.2	2.3.4.5.1.2	2.3.4.5.6.1.2
3.1.2.3	3.4.1.2.3	3.4.5.1.2.3	3.4.5.6.1.2.3
4.1.2.3.4	4.5.1.2.3.4	4.5.6.1.2.3.4	4.5.6.1.2.3.4.5
5.1.2.3.4.5	6.1.2.3.4.5	6.1.2.3.4.5.6	6.1.2.3.4.5.6

При наблюдении каждой из таких программ одним приемом любой угол, составленный двумя смежными направлениями, будет измерен  $n$  раз. Для каждой последовательности направлений необходимо  $N$  приемов наблюдений:

$$N = m/n, \quad (16)$$

где  $m$  — число приемов для способа круговых приемов;  $n$  — число направлений на станции. Округляя  $N$  в (16) до целых в сторону увеличения, качество триангуляционных построений улучшится, а трудоемкость работ несколько возрастет. Оценка точности результатов измерений производится как и в обычном способе круговых приемов. Из изложенного следует, что результаты исследований не подтверждают линейную зависимость ПЗГ от числа направлений в программах; погрешность замыкания горизонта (ПЗГ) при измерении горизонтальных углов (направлений) способом круговых приемов — функция погрешностей  $\gamma$  двухкратного наблюдения начального направления и зависит от числа направлений; методика измерения горизонтальных углов (направлений) способом круговых приемов не позволяет выявить значение систематической части ПЗГ; замена обычного способа круговых

приемов программами круговых приемов с последовательной приемкой начального направления приводит уравнивание станции к выводу среднего из начального и замыкающего отсчетов.

**Список литературы:** 1. Инструкция о построении государственной геодезической сети СССР. — М.: Недра, 1966. 2. Красовский Ф. Н., Данилов В. В. Руководство по высшей геодезии. М., 1939. 3. Никифоров Б. И., Макаров Г. В. Обработка измерений, произведенных способом круговых приемов. — Геодезия и аэрофотосъемка, 1968, № 6, 4. Шульгин В. М., Куришин А. М. Систематические ошибки замыкания горизонта в способе круговых приемов. — Геодезия и картография, 1965, № 9.

Статья поступила в редакцию 11.01.84

УДК 528.21:517.53.521.13

Г. А. МЕШЕРЯКОВ

## О РАЗЛОЖЕНИИ ПО ШАРОВЫМ ФУНКЦИЯМ ПОТЕНЦИАЛА ДВОЙНОГО СЛОЯ, РАСПОЛОЖЕННОГО В ПЛОСКОСТИ ЭКВАТОРА ПЛАНЕТЫ

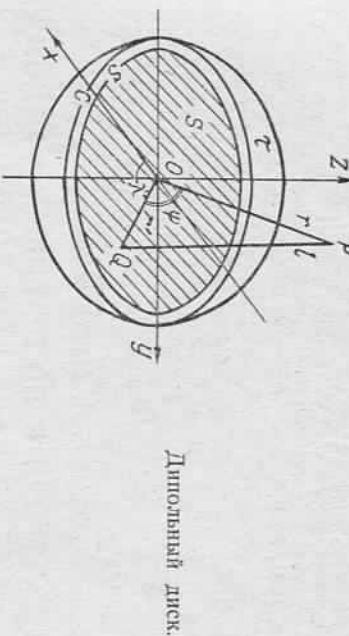
Как показано в [3], нечетная относительно экваториальной плоскости планеты часть  $V_{\text{неч}}$  потенциала  $V$  ее притяжения может трактоваться потенциалом  $V'' = V_{\text{неч}}$  двойного слоя, находящегося в указанной плоскости и имеющего очертания экваториального сечения планеты. Этот слой назван дипольным диском (ДД) в отличие от материального диска (МД), имеющего ту же геометрию, что и ДД, но несущего на себе простой слой, потенциал  $V'$  которого описывается четной частью  $V_{\text{чет}}$  — потенциала  $V$  планеты, причем сумма потенциалов этих дисков выражает потенциал планеты  $V_{\text{чет}} + V_{\text{неч}} = V$ .

Для развития и использования предлагаемой концепции гравитирующих дисков необходимо иметь разложение их внешних потенциалов по шаровым функциям, которые в принципе легко получить в соответствии с известной традиционной схемой разложения объемного потенциала. Однако, если разложение  $V = V_{\text{чет}} + V_{\text{неч}}$  буквально повторяет разложение  $V$  (незначительное отличие обусловлено определяющим потенциалом  $V'$  характером контурного интегрирования), то разложение потенциала  $V''$  двойного слоя требует привлечения аппарата ультрасферических многочленов — полиномов Гегенбауэра [1, 4, 5], что определяет специфику вывода искомого представления. Поэтому остановимся на нем более подробно.

Обозначим площадь плоского диска буквой  $S$ , а его контур —  $s$ ; будем считать, что планетоцентрический радиус-вектор контура диска  $r_s' = r_c' - e$ , где  $r_c'$  — радиус-вектор экваториального сечения планеты, а  $e > 0$  — сколь угодно малая величина. Пользуясь далее квазипланетоцентрической системой координат  $Ox_1y_2z_3$  (см. рисунок), будем задавать точку  $P$ , внешнюю относительно пла-

неты  $\tau$ , либо ее прямоугольными координатами  $x, y, z$ , либо сферическими  $r, \vartheta, \lambda$ , а точку  $Q$  слоя ДД — также прямоугольными или полярными  $r', \lambda'$  (для нее  $z_Q = \frac{r}{r'} = 0$ , а  $\vartheta = \pi/2$ ).

Движение в плоскости  $Oxz$  было ограничено, а движение вдоль оси  $Oz$  и вращение вокруг нее свободны.



шем выражения потенциала двойного слоя, расположенного на  $S$  и имеющей плотность  $\nu$ ,

$$V'''(P) = -f \int_s \frac{\partial}{\partial n} \left( \frac{1}{l} \right) dS = f \int_s \frac{z^y (\xi, \eta) dS}{(\sqrt{(\xi - x)^2 + (\eta - y)^2} + z^2)^3} = \\ = f \int_s \frac{z_p v_a dS_a}{l_{pq}^3}, \quad (1)$$

где  $G$  — гравитационная постоянная;  $z_P = r_P \cos \theta_P$ ;

$$l_{PQ} = \sqrt{r^2 + r'^2 - 2rr' \cos \psi} = r(1 - 2h \cos \psi)$$

причем для любой точки  $P$ , внешней относительно  $S$ ,  $h=r'/r < 1$ .

Из последнего выражения (1) следует, что во всех точках экваториальной плоскости вне слоя  $V''(x, y, O)=0$ , так как при этом  $z=0$ . Далее считаем, что угол принадлежит открытому промежутку  $(0, 2\pi)$ , т. е. случаи выполнения равенств  $\psi=0$  и  $\psi=2\pi$  исключены.

Для получения нужного представления потенциала  $V'''(P)$  разложим  $1/l_{RQ}^k$  в ряд по степеням  $h = r'/r$ . С этой целью вспомним производящую функцию полиномов Гегенбауэра:  $C_n^k(\cos \psi)$  [1, 4, 5]

причем степенной ряд, фигурирующий справа, является абсолютно сходящимся при любом  $h \leq 1$ .

Значит, в нашем случае

$$V''(P) = (f/r^3) \int_s z_P v_Q \left( \sum_{n=0}^{\infty} \bar{C}_n^{3/2} (\cos \psi) h^n \right) ds.$$

Обращаясь теперь к теореме сложения многочленов Гегенбауэра, выпишем ее при  $k=3/2$  и  $\theta=\pi/2$ :

$$C_n^{3/2}(\cos\psi) = C_n^{3/2}(\cos\vartheta \cos\vartheta' + \sin\vartheta \sin\vartheta' \cos(\lambda - \lambda')) = \\ = \sum_{m=0}^n 2^{m+1} (m+1)(n-m)! \frac{[(3/2)_m]^2}{(2)_{n+m+1}} (\sin\vartheta)^m C_{n-m}^{\frac{3}{2}+m} \cos\vartheta(0) C_m^1(\cos(\lambda - \lambda')),$$

где  $(\alpha)_n = \frac{\Gamma(\alpha+k)}{\Gamma(\alpha)} = \alpha(\alpha+1)(\alpha+2) \cdots (\alpha+k-1)$ ; (1)

Пронтегрируем почленно ряд, которым выражен теперь потенциал двойного слоя; в результате получим

$$V'' \sec \vartheta = \sum_{n=0}^{\infty} \frac{1}{r^{n+2}} \sum_{m=0}^n \frac{2^{m+1}(m+1)(n-m)!}{(2)_{n+m+1}} \times \\ \times C_{\frac{n}{2}+m}(0) (\sin \vartheta)^m C_{n-m}^{\frac{3}{2}+m}(\cos \vartheta) \int_{\xi} v(\xi, \eta) r'^n C_m^1(\cos(\lambda - \lambda')) dS$$

Займемся входящими сюда интегралами по ДЛ

$$J_{nm} = \int_S \psi r'^n C_m^1(\cos(\lambda - \lambda')) dS$$

Рассмотрим суммы [1], определяющие  $C_m^1(\cos \gamma)$ , где  $\gamma = \lambda - \lambda'$ :

$$C_m^1(\cos \gamma) = \sum_{k=0}^m \cos [(m-2k)\gamma] = \sum_{k=0}^m [\cos(m-2k)\lambda] \times$$

$$\times [\cos(m - 2k)\lambda'] + \sum_{n=1}^{\infty} [\sin(m - 2k)\lambda][\sin(m - 2k)\lambda'].$$

Значит,  $J_{nm} = \sum_{k=0}^n a_{nmk} \cos(m-2k)\lambda + \sum_{k=0}^m b_{nmk} \sin(m-2k)\lambda$ ,

$$\left. \begin{array}{l} a_{nmk} \\ b_{nmk} \end{array} \right\} = \int_{\Gamma} \nu r'^n \left\{ \begin{array}{l} \cos(m-2k)\lambda' \\ \sin(m-2k)\lambda \end{array} \right. \cdot dS. \quad (2)$$

Обозначив еще

$$M_{nm} = \{2^{m+1}(m+1)(n-m)!\}[(3/2)_m]^2 C_{n-m}^{\frac{3}{2}+m}(0)/(2)_{n+m+1}, \quad (3)$$

$$\text{запишем } V'' \sec \vartheta = f \sum_{n=0}^{\infty} \frac{1}{r^{n+2}} \sum_{m=0}^n M_{nm} (\sin \vartheta)^m C_{n-m}^{\frac{3}{2}+m} (\cos \vartheta) \times$$

$$\times \left[ \sum_{k=0}^m a_{nmk} \cos(m-2k)\lambda + \sum_{k=0}^m b_{nmk} \sin(m-2k)\lambda \right].$$

Перейдем теперь от полиномов Гегенбауэра к присоединенным функциям Лежандра на основании известной связи между ними [5]:

$$(\sin \vartheta)^j C_l^{j+1}(\cos \vartheta) = \frac{1}{2^j (1/2)_j} P_l^j(\cos \vartheta).$$

Тогда после очевидных преобразований получим

$$V'' = f \operatorname{ctg} \vartheta \sum_{n=0}^{\infty} \frac{1}{r^{n+2}} \sum_{m=0}^n N_{nm} P_{n+1}^{m+1}(\cos \vartheta) \left[ \sum_{k=0}^m a_{nmk} \cos(m-2k)\lambda + \right.$$

$$\left. + \sum_{k=0}^m b_{nmk} \sin(m-2k)\lambda \right],$$

где

$$N_{nm} = \frac{M_{nm}}{2^{m+1} (1/2)_{m+1}}. \quad (4)$$

Но одна из известных рекуррентных формул [1, 4] для присоединенных функций Лежандра с одинаковым нижним индексом

$$P_p^{q+2}(x) + 2(q+1) \frac{x}{\sqrt{1-x^2}} P_p^{q+1}(x) + (p-q)(p+q+1) P_p^q(x) = 0$$

позволяет записать  $\operatorname{ctg} \vartheta P_{n+1}^{m+1}(\cos \vartheta) = -\frac{(n-m+1)(n+m+2)}{2(m+1)} \times$

$$\times P_{n+1}^m(\cos \vartheta) - \frac{1}{2(m+1)} \cdot P_{n+1}^{m+2}(\cos \vartheta).$$

Используя эту формулу, имеем

$$V'' = V'''(r, \theta, \lambda) = f \sum_{n=0}^{\infty} \frac{1}{r^{n+2}} \sum_{m=0}^n \left( -\frac{N_{nm}}{2(m+1)} \right) [(n-m+1) \times$$

$$\times (n+m+2) P_{n+1}^m(\cos \vartheta) + P_{n+1}^{m+2}(\cos \vartheta)] \times$$

$$\times \left[ \sum_{k=0}^m a_{nmk} \cos(m-2k)\lambda + \sum_{k=0}^m b_{nmk} \sin(m-2k)\lambda \right]. \quad (5)$$

Получив представление потенциала  $V''$  ДЛ, заметим, что его искомое разложение по шаровым функциям должно иметь вид  $V'' = \sum_{p=1}^{\infty} Y_p / r^{p+1}$ , где  $Y_p = Y_p(\theta, \lambda)$  — сферические функции  $p$ -го порядка.

В таком представлении  $V''$  (в отличие от разложений объемного потенциала и потенциала простого слоя, в которых суммирование начинается с  $p=0$ ) первым членом разложения является  $Y_1/r^2$ , что связано с поведением  $V''$  на бесконечности, где потенциал двойного слоя убывает пропорционально  $1/r^2$  [2]. Из уже полученного выражения  $V''$  в виде (5) видно, что оно удовлетворяет этому условию.

Значит, входящие в (5) суммы  $f_n(\theta, \lambda) = \sum_{m=0}^n (\dots) [\dots] [\dots]$  должны быть сферическими функциями  $(n+1)$ -го порядка. Не поступая этого разложим каждую из этих сумм по элементарным сферическим гармоникам, что, с одной стороны, подтвердит это положение, а с другой — даст явное выражение указанных функций, чем и будет завершено получение искомого разложения потенциала  $V''$  по шаровым функциям.

При разложении  $f_n = f_n(\theta, \lambda)$  по элементарным сферическим функциям получим

$$\sum_{l=0}^{\infty} \sum_{j=0}^l (\alpha_{lj} \cos j\lambda + \beta_{lj} \sin j\lambda) P_l^j(\cos \vartheta) = Y_{n+1}(\theta, \lambda),$$

где

$$\begin{cases} \alpha_{lj} \\ \beta_{lj} \end{cases} = \frac{2i+1}{2\pi} \int f_n(\theta, \lambda) P_l^j(\cos \vartheta) \left| \frac{\cos j\lambda}{\sin j\lambda} d\sigma \right.$$

$$\alpha_{10} = \frac{2i+1}{4\pi} \int f_n(\theta, \lambda) P_1^1(\cos \vartheta) d\sigma; \quad \beta_{10} = 0.$$

При вычислении коэффициентов  $\alpha_{lj}$ ,  $\beta_{lj}$  видно, что за счет ортогональности сферических функций на единичной сфере все равны нулю, кроме

$$\begin{cases} \alpha_{l=n+1, j=m} \\ \beta_{l=n+1, j=m} \end{cases} = \frac{2n+3}{2\pi} \int \left( -\frac{N_{nm}}{2(m+1)} \right) (n-m+1)(n+m+2) \times$$

$$\times [P_{n+1}^m(\cos \vartheta)]^2 \left\{ \frac{a_{nm0}(\cos m\lambda)^2}{b_{nm0}(\sin m\lambda)^2} \cdot d\sigma; \quad \alpha_{l=n+1, 0} = \right.$$

$$= \frac{2n+3}{4\pi} \int \left( -\frac{N_{n0}}{2} \right) (n+1)(n+2) [P_{n+1}^m(\cos \vartheta)]^2 a_{n00} d\sigma.$$

Откуда

$$\left. \begin{array}{l} a_{n+1, m} \\ b_{n+1, m} \end{array} \right\} = K_{n, m} \left\{ \begin{array}{l} a_{nm} \\ b_{nm} \end{array} \right\}$$

при

$$K_{nm} = \left( -\frac{N_{nm}}{2(m+1)} \right) \frac{(n+m+2)!}{(n-m)!}.$$

Таким образом, получено

$$Y_{n+1}(\vartheta, \lambda) = \sum_{m=0}^{n+1} K_{nm} (a_{nm} \cos m\lambda + b_{nm} \sin m\lambda) P_{n+1}^m(\cos \vartheta),$$

где

$$\left. \begin{array}{l} a_{nm} = f a_{nm0} \\ b_{nm} = f b_{nm0} \end{array} \right\} = f \int_s^v (r', \lambda') r'^n \left\{ \begin{array}{l} \cos m\lambda' \\ \sin m\lambda' \end{array} \right\} dS$$

и

$$K_{nm} = -\frac{(n+m+2)!}{2(1/2)_{m+1}(2)_{n+m+1}} \left[ \left( \frac{3}{2} \right)_m^2 C_{n-m}^{3+m}(0).$$

Заметим, что выполненный расчет аннулировал отдельное выделение вычисления  $a_{n+1, 0}$ , и коэффициенты  $a_n$  определяются первою формулой (6) с учетом  $K_{nm}$  по последней из приведенных формул при  $m=0$ .

Перед тем как подставлять полученное выражение сферических функций  $Y_{n+1}$  в разложение (5) вспомним формулы (3), (4), за счет которых ряд членов этого разложения обращается в ноль. В исскомом ряду будут отсутствовать все члены, содержащие  $K_{nm}$ , в которых фигурируют  $C_{n-m}^{3+m}(0)$  при нечетных разностях индексов ( $n-m$ ). По этой причине, в частности, разложение  $V''$  не будет содержать секториальных гармоник (ибо  $K_{n,n+1}=0$ ), поэтому исходное представление потенциала ДД можно записать в виде

$$V''(P) = \sum_{n=0}^{\infty} \sum_{m=0}^n K_{nm} (a_{nm} \cos m\lambda + b_{nm} \sin m\lambda) P_{n+1}^m(\cos \vartheta), \quad (7)$$

где после ряда упрощений

$$K_{nm} = (-1)^{\frac{n-m}{2}+1} \left( \frac{(n-m)/2!}{2} \right)_m^1 \left( \frac{3}{2} \right)_m^3 \left( \frac{3}{2} \right)_{n-m}^{n-m}. \quad (8)$$

Коэффициенты ряда (7), даваемые формулами (6) и зависящие от структуры двойного слоя (от его плотности  $v$ ), аналогичны по своему значению стоксовым постоянным в ряде для объемного потенциала  $V$ . Формула (7) является окончательной: она дает исключительное разложение потенциала  $V''$  двойного слоя, расположенного

в плоскости экватора в области  $S$ , с произвольной плотностью  $v$ , причем в этом разложении должны быть опущены члены, разность индексов  $n$  и  $m$  в которых нечетна. В начале статьи отмечалось, что потенциал  $V''$  тождествен нечетной части  $V$  потенциала  $V$  планеты. Поэтому, сохранив за символами  $n$  и  $m$  роль индексов в коэффициентах (6) ряда (7) и сравнивая последний с нечетной частью традиционного ряда по-тенциала  $V$  планеты, получаем

$$\left. \begin{array}{l} a_{nm} \\ b_{nm} \end{array} \right\} = \frac{f M R^{n+1}}{K_{nm}} \left\{ \begin{array}{l} C_{n+1, m}, \\ S_{n+1, m}, \end{array} \right\} \quad (9)$$

где  $C_{ab}$ ,  $S_{ab}$  — ее бе́зразмерные стоксовые постоянные. Значит, коэффициенты  $a_{nm}$ ,  $b_{nm}$  ряда (7) — это соответствующие им по (9) размерные стоксовые постоянные планеты, поделенные на величину  $K_{nm}$  из выражения (8).

При заданном внешнем потенциале планеты  $V$  полученное здесь разложение потенциала  $V'' = V_{\text{неч}}$  с коэффициентами (6) позволяет теперь найти степенные моменты плотности  $v$  дипольного диска ДД, а по ним и саму плотность  $v$ . Это вместе с решением аналогичной задачи для материального диска МД, с одной стороны, приводит к завершению построения конструкции гравитирующих дисков, создавших во внешнем (относительно планеты) пространстве ее поле притяжения, а с другой — раскрывает новые возможности создания моделей гравитационного потенциала планет, в частности многоточечных.

**Список литературы:** 1. Бейтмен Г., Эрдейи А. Высшие трансцендентные функции. — М.: Наука, 1965—1974. 2. Владими́ров В. С. Уравнения математической физики. — М.: Наука, 1976. 3. Мещеряков Г. А. О представлении потенциала планеты суммой потенциалов плоских слоев — Геодезия, картография и аэрофотостемка, 1984, вып. 4. 4. Рыжик И. М., Градштейн И. С. Таблицы интегралов, сумм, рядов и произведений. — М.: ГИТЛ, 1951. 5. Уиттерберг Э. Т., Ватсон Дж. Н. Курс современного анализа. — М.: Физматиз, 1963.

Статья поступила в редакцию 14.01.84

УДК 551.24.528.2/3

Е. А. МИНИН

## ПРИМЕНЕНИЕ СПЕКТРАЛЬНОГО АНАЛИЗА ДЛЯ ИЗУЧЕНИЯ ВЕРТИКАЛЬНЫХ ДВИЖЕНИЙ ЗЕМНОЙ КОРЫ

Исходя из современных концепций возникновения вертикальных движений земной коры, предположим, что модель движения, являясь в общем случае аддитивной нестационарной случайной функцией, состоит из детерминированной и случайной частей. Причем первая, в свою очередь, представлена суперпозицией периоди-